

國內 粘土鑛物의 特性研究

林應極, 朴順子, 鄭秀鎭, 金 煥

서울대 工大 窯業工學科

(1980年 2月 27日 接受)

Characteristics of Domestic Clay Minerals

Eung-Keuk Lim, Soon-Ja Park, Su-Jin Chung, Hwan Kim.

Dept. of Ceramic Engineering, College of Engineering, Seoul National University.

(Received Feb 27, 1980)

ABSTRACT

Mineral identifications on halloysite in Hadong-Sancheong area and the halloysite bearing clay in Yeosu, Yesan and Hampyeong-Muan area are carried out by the method of X-ray diffraction, electron microscopy and DTA.

Chemical compositions of the above minerals are analysed by means of X-ray-fluorescence.

Refractoriness are also measured by refractoriness tester.

A standard diagram for quantitative analysis of halloysite is given.

1. 緒 論

國內 窯業原料로서의 粘土鑛物은 主로 高嶺土이며 花崗岩이 豊富한 韓國 全域에서 이의 風化로 生成된 鑛床이 散在하고 特히 河東, 山淸地域의 高嶺土는 品質이 優秀하여 世界的으로 알려져 있다. 商工部 窯業 現況報告¹⁾에 依하면 調査確保된 이 地域의 埋藏量은 1,200萬톤이며 全國에 散在한 鑛床을 考處하여 潛在鑛量을 4,000萬톤 程度로 推算하고 있고 國立地質調査所 報告書²⁾에 依하면 河東, 山淸地域에만 Al_2O_3 28% 以上の 鑛量이 4,500萬톤으로 計算되고 있다. 高嶺土 資源研究는 比較的 오래 前부터 많이 施行되었고 지금까지 全國에 約 100個 産地가 알려져 있다.

本 論文은 國內 窯業産業의 急激한 發展에 따라 資源의 調査確保를 爲한 研究의 일환으로 高嶺土의 品質을 調査 研究함으로써 國內 非金屬鑛物 資料 및 이의 適切한 活用に 寄與함을 目的으로 한다.

2. 産地, 鑛床 및 試料

高嶺土鑛床은 長石의 風化 또는 이의 沖積層으로서 形成되며 同一 鑛床內에서도 品位가 多様 不規則하여 目選 및 手選이 採土過程에서 不可避하다. 本 研究에서는 現在 商品으로 産出되어 國內 各 窯業工場 또는 海外 輸出에 供給되는 河東, 山淸地域과 麗州地域, 淸山地域 및 咸平, 務安地域을 一次的으로 選定하여 現地踏査 및 品質調査를 하였고 試料採取는 手選採土를 거친 商品을 四分法에 依하여 擇하였다. 이 外에도 慶北 星州地域, 慶南 함천地域, 全南 海남, 진도, 강진 地域을 비롯하여 數個의 他地域이 알려져 있다.

2-1. 河東, 山淸地域

世界的으로 알려진 우리나라 主 高嶺土産地이며 1/50,000地質圖幅上에서 진교, 단성, 산청에 걸쳐 南으로 河東郡 北川面 적전리, 화정리부터 北으로 山淸郡 생초면 一帶에 이르는 누에모양으로 南北으로 길게 펼쳐 있는 灰長岩 $[(Ca, Na, K)(Al, Si)_4O_8]$ 의 風化帶로서 工業研究所, 國立地質調査所(現 資源開發研究所) 등에

Table 1. Chemical Composition of the Samples

	SiO ₂	Al ₂ O ₃	Fe ₂ O ₃	TiO ₂	CaO	MgO	K ₂ O	Na ₂ O	Total
HADONG SW	45.02	39.63	0.22	0.09	0.08	0.15	0.47	0.21	85.87
HADONG SP	44.14	39.32	0.51	0.11	0.12	0.17	0.42	0.24	85.03
YESAN CLAY	54.55	28.25	3.35	0.75	0.24	0.70	2.61	0.17	90.62
YEOJU CLAY	77.41	13.96	0.87	0.10	0.14	0.30	3.15	0.47	96.40
HAMPYEONG CLAY	63.39	19.51	1.99	0.83	0.71	1.08	2.72	1.11	91.34

서 많은 연구가 된 地域이다⁵⁾⁶⁾.

鑛山에 따라 多少 다르나 現在 商品으로 SW(special white), WA(white A級), WB, WC, SP(special pink), PA(pink A級), PB, PC의 8種이 産出되어 日本에 많이 輸出된다.

2-2 驪州地域

驪州郡 北內面 오금리, 천남리 싸리산과 北內面, 대진면 一帶의 數個 露天地帶에서 産出되며 驪州花崗岩 및 이 一帶에 貫入된 珪長岩의 風化帶로서 大部分의 露天掘은 過去 日本人들에 依하여 稼行되었다하며, 現在 商品으로 A級, B級, C級으로 나누어 여주, 이천 지역에 散在한 小規模 陶磁器工場에서 使用된다.

2-3 禮山地域

忠南 禮山郡 新岩面 新宗里에서 産出되는 禮山粘土와 新禮院에서 産出되는 新禮院粘土가 있으며 粗粒質 花崗岩의 風化殘留 鑛床이다.

2-4 咸平, 務安地域

全南 咸平郡 孫佛面 三南里 교촌部落周圍 一帶에서 부터 무안군 철경면 두동 一帶사이에 널리 펼쳐져 있는 平野上的 水畝에 埋沒되어 있는 灰色 및 暗灰色의 壤土로서 地表로부터 2m 깊이에 位置하며, 두께 約 2~3m 程度의 粘土層으로서 品位에 따라 A級, B級, C級으로 나누어 産出된다.

鑛床은 潮水에 依하여 形成된 海水泥土의 沖積層으로 思料되며 含有 鑛物 및 化學組成은 이 周圍 一帶에서 産出되는 陶石과 類似하다.

3. 實驗 및 結果

3-1 化學成分

上記 4個 地域의 많은 試料에 對한 組成은 잘 알려져 있으나^{1)~3)} 本 研究에서 採擇한 試料에 對한 正確한 分析值를 얻고져 日本 Rigaku製 X線 螢光分析器에 依하여 元素 含量分析을 하였고 그 結果를 Table 1에 記載하였다. 標準定量에 NBS 標準試料 97a Flint clay, 98a Plastic clay, 70a Feldspar, 99a Feldspar를 使用하여 그 結果를 가지고 計算된 檢量直線을 標準으로

使用하였다.

各各의 含量은 後記의 X線 回折分析值와 一致하며 100%에서 化學組成의 合計를 減한 나머지를 灼熱減量으로 보던, SiO₂의 量이 增加함에 따라 이 나머지의 量이 減少하는 것이 잘 나타나 있다. 驪州粘土는 싸리 산白土 A級이고 咸平粘土는 C級으로서 分析值로 보아 이들 中에 石英과 長石이 많이 含有되었을 것으로 思料된다.

3-2 X線 回折分析

含有 鑛物의 定性分析은 日本 Rigaku製 powder diff-

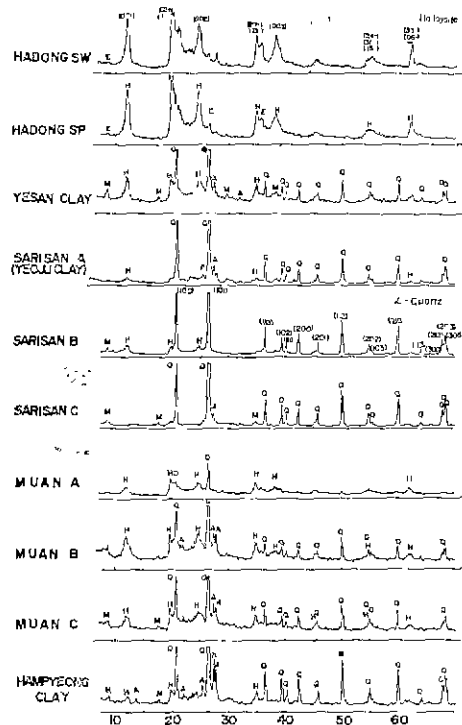


Fig. 1 X-ray diffraction patterns of clay minerals.
 H : Halloysite E : Endellite
 Q : Quartz M : Illite(Hydro muscovite)
 A : Anorthoclase

ractometer에 의하여 Cu-Target, Ni-Filter를 사용하여 30mA, 15kV의出力, 2θ의範圍 6°~70°, Count range 1,000 cps 및 2,000 cps의條件으로計測된回折圖를解析하였고 이를 Fig. 1에圖示하였다.

試料는平均적으로均等히取하여 80°C~110°C의乾燥器에서長時間(2日程度)乾燥한後에粉碎한것이기 때문에 Fig. 1의河東 SW 및河東 SP에서 나타난바와같이 Endellite(Hydrated Halloysite)는 거의 없고 Meta-Halloysite(dehydrated Halloysite)만存在한다.

한편,河東 SW와 SP에서極히微弱하게 나타나는 α-石英의 peak는後記하는定量分析結果에 미루어 1%以下로思料된다.

예산, 찌리산, 무안, 함평粘土에서는量的差異는 있으나石英이多量含有되어 있고正長石에 가까운即, 칼륨이豊富한 Anorthoclase와少量의雲母가含有되어 있으며花崗岩의風化로 이의殘留鑛物이殘存함은極히當然하다.

이 외에微量含有鑛物의分析에는試料의選鑛分離가不可避하며 특히 찌리산白土에서는水飛에 의한石英의分離後에殘留粘土의分析이要望되며 이는次後로 미룬다.

3-3 DTA, TGA 分析

日本 Chyo Balance社製 DTA Model TRDA₃-H에 의하여 DTA 및 TGA 分析을 하였고, 使用된 試料의 量 100mg, 對應標準試料 α-Al₂O₃, 6°C/min의 加熱速

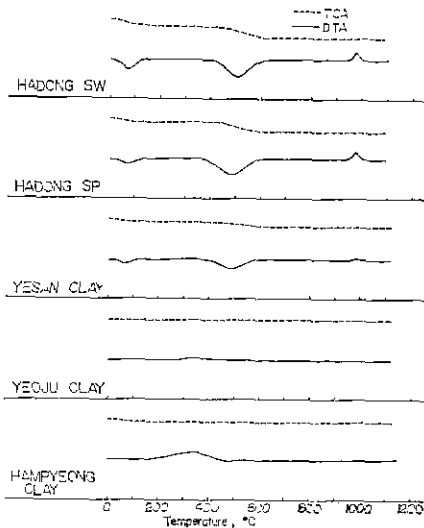


Fig. 2 DTA and TGA curves of clay minerals

제17권 제 1호 (1980)

도로 常溫에서 1,200°C까지測定하였다.測定된曲線은 Fig. 2에圖示하였다.

Fig. 2에서 나타난 바와 같이 感度는 銳敏하지 못하나 이는 느린 加熱速度에 起因하는 것이며 測定溫度가 實際溫度보다 多少 낮게 나타나 있고 이는 試料의 粒子의 크기에도 關係되나 여기서는 測定溫度의 誤差로 思料된다.

河東 SW, SP 및 禮山粘土에서 50°C~100°C의 吸熱 peak는 分明히 Endellite→Meta-Halloysite의 變化이며 500°C 近方의 吸熱 peak는 (OH)기의 喪失 即, Meta Halloysite의 탈수(dehydration)에 의한 것이고 1,000°C 附近의 發熱 peak는 Kaolinite에서는 Brindley¹⁰⁾가 "Al-Si Spinel" 및 mullite의 生成에 의한 것으로 提案하였으며 Halloysite에서는 아직까지 明確히 判明되지 않고 學者에 따라 여러가지로 報告된 것이다.

이로써 上記 세 試料에서는 Halloysite가 主鑛物로 되어 있음이 잘 表示되었고 麗州粘土에서는 石英의 α→β變化 吸熱 peak만이 微弱하게 나타나 있다.

以上の結果는 上記의 化學分析 및 X線의 回折分析과 一致된다.

3-4 透過電子顯微鏡 觀察

各地域의 試料 約 20個를 取하여 日本 JEOL社製 JEM 100C 透過電子顯微鏡으로 形象 및 回折圖를 觀察하였고 그중 代表的인 寫眞을 Fig. 3에 提示하였다.

Fig. 3에서 河東, 찌리산, 무안A에서 Halloysite가 잘 나타나 있으며 크기는 大略 비슷하여 길이 0.5~1μ 지름 0.15μ 程度이고 이 곳에 실리지 않은 寫眞에서는 길이 2μ 以上 지름 0.3μ 程度의 큰것과 0.1μ 以下の 지름을 갖는 작은 것도 간혹 찾아 볼 수 있다.

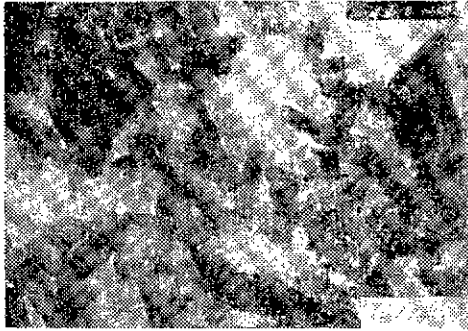
禮山粘土와 務安B粘土에서는 같은 크기의 Halloysite도 많이 含有되어 있으나 回折圖가 六方의 對稱을 갖는 比較的 晶質이 不良한 板狀의 粒子가 많이 나타나 있으며 이는 前記의 X線 回折分析에 미루어 Illite(Hydromuscovite), Kaolinite, 및 Montmorillonite로 思料된다.

3-5 含有鑛物의 定量分析

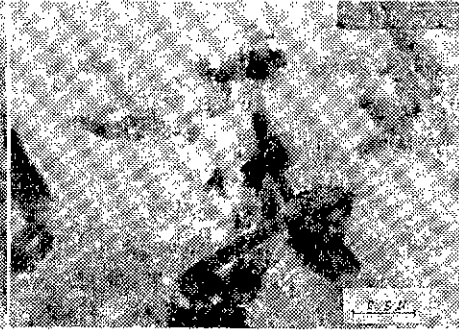
粘土鑛物의 定量分析은 粒度크기의 영향 및 X線回折 peak의 類似에 의한 重複때문에 어려움이 많다.

本 研究에서는 河東 SW가 거의 Halloysite만으로 되어 있는데 着眼하여 이와 Kaolinite(Carter Products, Inc. Item 1K 32300)를 比較하여 標準試料로 擇하고 Hallosie 및 石英의 定量을 試圖하였다.

Fig. 4에서 보는 바와 같이 河東 Halloysite는 產出 狀態에서는 Endellite(Hydrated Halloysite)와 Meta-Halloysite [Al₂Si₂O₅(OH)₂]의 混雜으로 되어 있고 Endellite의 量이 더 많은 것으로 나타났다. 이들 乾燥器에



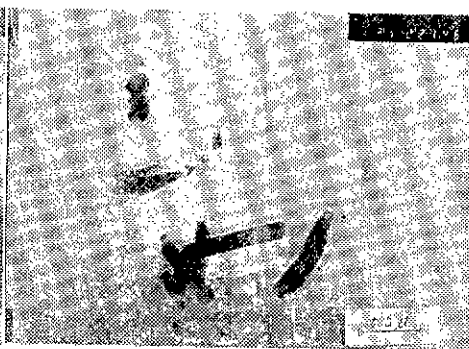
a) Hadong SW



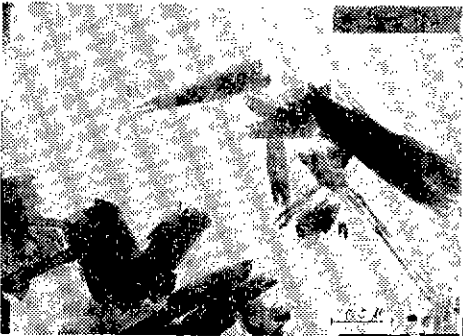
b) Hadong SW



c) Hadong SP



d) Hadong SP



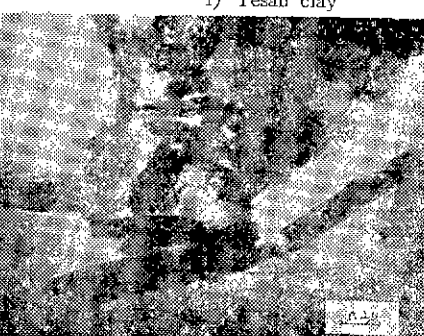
e) Sarisan



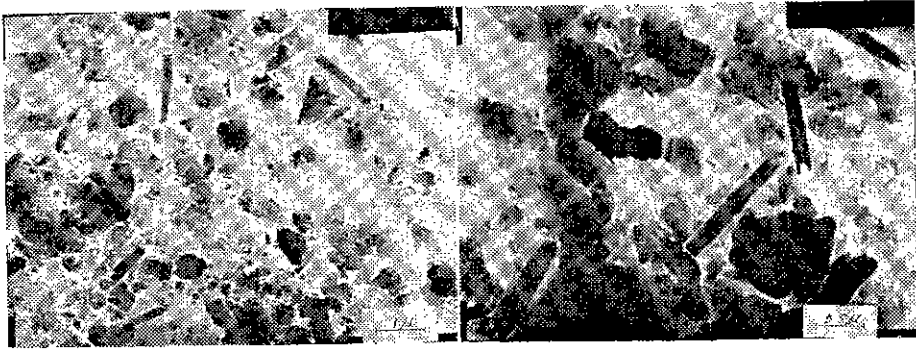
f) Yesan clay



g) Muon clay A



h) Muon clay A



i) Muon clay B

j) Muon clay B

Fig. 3 Transmission electron micrographs of clay minerals (Halloysite)

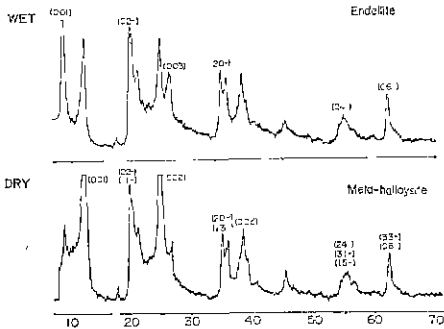


Fig. 4 X-ray diffraction pattern of Hadong halloysite
WET : before heating
DRY : after heating at 60°C for 2 hours.

서 60°C 程度로 2時間 乾燥한 後의 回折圖는 Meta-Halloysite가 훨씬 增加하고 回折圖上 d 값 10Å~7.2Å 사이의 높은 underground로 보아 脫水過程의 Endellite가 殘存한다.

두 回折圖에서 indexing 되지 않은 peak는 Kaolinite의 指數에 相應하는 指數를 갖는 Halloysite의 peak로서 Fig.1의 河東 Halloysite 回折圖와 綜合하여 볼 때 뚜렷한 不純物의 peak는 찾아 볼 수 없다. 이 結果로서 河東 Halloysite SW中 特히 깨끗한 部分을 手選하여 標準試料로써 使用하였고 Fig.5에 各各의 標準直線을 圖示하였다.

Fig.5b에서 Kaolinite와 SiO₂의 定量에는 內部標準으로 20% NaCl을 添加하여 이 20% NaCl에 對한 各各의 含量을 Fig.5c, d에서 찾아 볼 수 있다. 또한 Fig.5b에서 20% NaCl을 添加했을 때와 添加하지 않

았을 때 (110)_{SiO₂}/(130)_{Kaolinite}의 傾斜의 差異는 그 確實한 理由는 알 수 없으나 測定誤差로 思料된다. 構造가 같은 Halloysite와 Kaolinite는 理論上 Fig.5a, b에서 주어진 (020), (130), (060)면의 強度는 두 鑛種을 比較하여 서로 近似할 것으로 생각되며, Fig.5a와 b에서 (020) 및 (130)면의 기울기가 서로 相異한 것은 隣接한 다른 peak의 影響때문이며, 이 影響이 比較的 적은 (060)면에 對하여서는 Halloysite와 Kaolinite의 두 標準直線이 거의 一致된다. 따라서, 이 두 鑛物이 混雜되어 있을 때의 定量分析에는 (060)면의 強度의 比를 取함이 適合할 것이다. Fig.5a의 標準直線으로 計算된 定量値는 Table 2.와 같다.

以上에서 주어진 Fig.5a, b, c, d의 標準直線은 相對的인 것으로 SiO₂와 Al₂O₃의 大略의 含量比를 알아 보는 데 使用될 수 있겠으나 結晶質이 좋지 않거나 含有量이 적을 경우는 Halloysite (06-)면 自體의 強度가 뚜렷치 못하여 計算이 不確實할 것이다.

3-6. 耐火度 測定

各 試料에 對한 耐火度 測定은 韓國工業規格 KSL 3113의 方法에 따라 測定하였으며 그 結果는 Table 2.에 나타내었다.

4. 結 論

Al₂O₃의 含量이 극히 높은 Anothosite를 母岩으로 갖고 있는 河東, 山淸地域의 Halloysite는 그 品位가 優秀하여 여러 地域에서 SW 및 SP와 같은 高純度의 Halloysite가 産出되며 Al₂O₃의 含量이 Halloysite의 理論値보다 오히려 2~3% 높은 것은 뚜렷한 다른 Alumina系 鑛物의 存在가 밝혀지지 않았고 단지 Alumina의 含量이 越等히 높은 少量의 Allophane이 包含되었

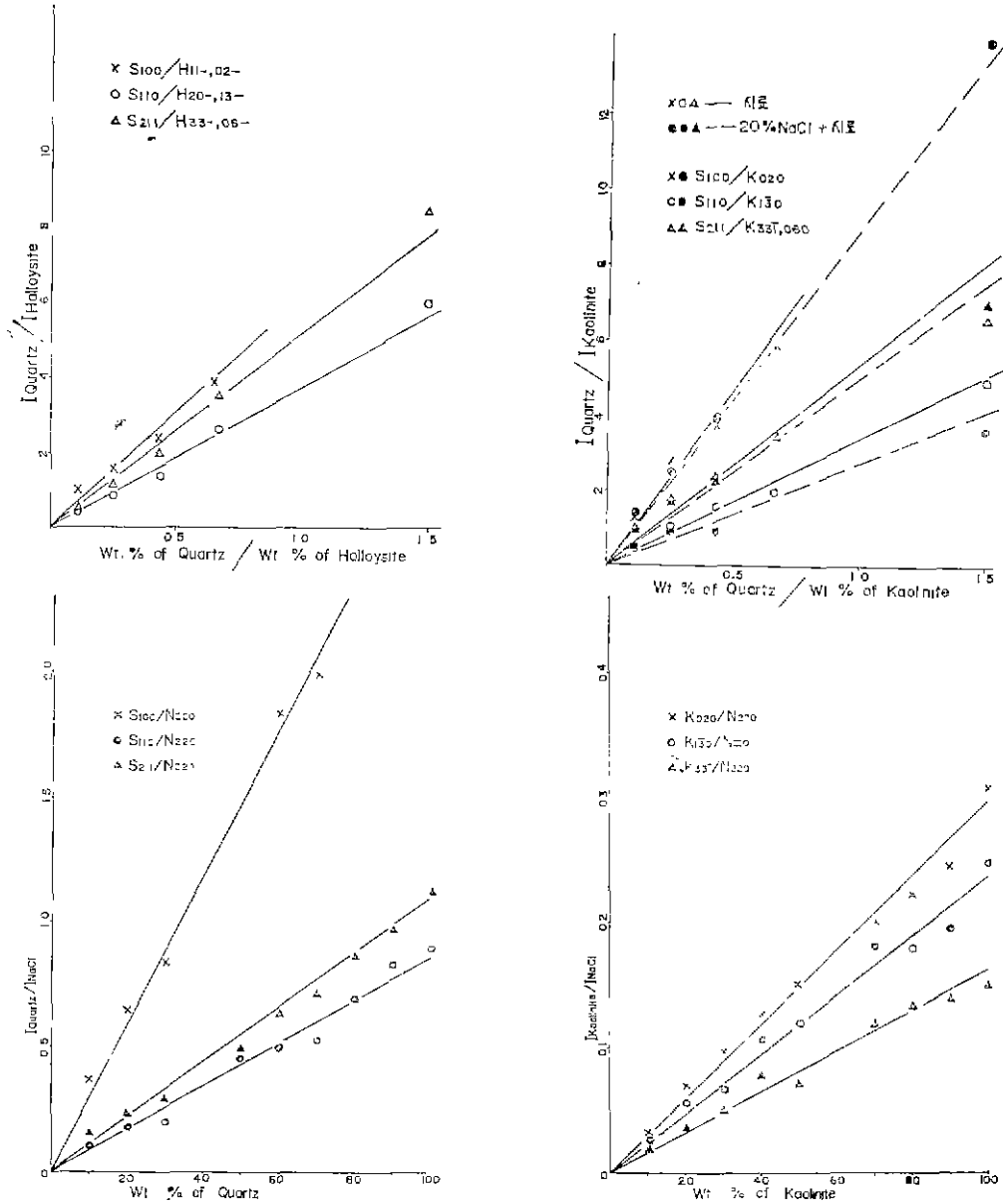


Fig. 5 Standard diagrams for quantitative analysis of Halloysite and Kaolinite.

거 때문인 것으로 思料된다.

禮山, 驪州, 咸平, 務安地域의 鑛床은 元來 母岩中的 Al_2O_3 의 含量이 높지 못한 花崗岩의 風化에 依한 것이므로 그 中 比較的 넓은 地域에 펼쳐 있는 咸平, 務安地域도 그 品位가 좋은 A級은 極少 地域에 限定 되어 있으며 大部分 B, C級으로 思料된다. 禮山地域도 他 地域 小規模 鑛床에 比하여 品位가 比較的 좋은 便이나 Halloysite는 約 50%에도 미치지 못하며 驪州地 域의 짜리산白土는 A, B, C級을 통틀어 石英의 含量이

過多하여 水飛를 하여서나 使用 可能할 것이다.

以上의 結果를 基로, 高嶺土 主生産地로서 河東, 山淸 地域만을 꼽을 수 있겠고 따라서 이 地域에서의 産出 및 其의 適定 利用에 對한 좀 더 細密한 計劃 및 規定 이 要望된다.

이 論文은 1979年度 文教部 學術研究造成費에 依한 것이다. 本 研究를 爲하여 實驗을 도와 준 李 祥鎭,

Table 2. Mineral Contents of Clay (Wt. %)

	Wt % of α -Quartz: Halloysite (From Fig. 5a)	Chemical Composition ($\text{SiO}_2/\text{Al}_2\text{O}_3$)		SK
		Calculated from Mineral contents	Measured	
Hadong SW	— : 100	1.178	1.136	34
Hadong SP	— : 100	1.177	1.122	35
Yesan Clay	26 : 74	2.067	1.931	26
Sarisan A	60 : 40	4.975	5.688	28
Muan A	10 : 90	1.459	1.342	*33
Muan B	22 : 78	1.891	1.962	*31
Muan C	34 : 66	2.481	2.365	*28
Hampyong	42 : 58	3.011	3.249	28

*This data is chosen from ref(9) to compare with others

金南廈, 吳世嶺, 沈秀萬, 黃圭煥等 窯業工學科
大學院生들에게 謝意를 表한다.

References

- 1) 國立工業標準試驗所, “韓國의 窯業原料”, 工業振興廳(1975)
- 2) 國立工業試驗院, “韓國의 窯業原料(續編)”, 國立工業試驗院(1976)
- 3) 國立工業試驗院, “韓國의 窯業原料(續編)”, 工業振興廳(1977)
- 4) 商工部, “韓國의 鑛業現況”, 商工部(1973)
- 5) G. C. Heikes, Hyung Ki Kim, “The Kaolins of Korea Mining branch”, Industry Engineering Division, U. S. operations mission to Korea, Agency

for International Development (1965)

- 6) 삼기남, 김동학, 서해길, 조한익, 이동진, 김찬국, 서제갑, “河東. 山淸地域 高嶺土 및 粘土鑛床調查報告書”, 科學技術處, 國立地質調查所 (1971)
- 7) 尙基南, “窯業鑛物(1)”, 窯業會誌 3(1) 53 (1966)
- 8) 趙鍾應, “國產粘土에 關한 基礎的 研究”, 窯業會誌 4(1) 129 (1967)
- 9) 孫恩山, 金炳燾, 朴哲元, “咸平粘土의 特性에 關한 研究”, 窯業會誌 10(1) 35 (1973)
- 10) G. W. Brindley and M. Nakahira. “The Kaolinite-Mullite Reaction Series III. The High-Temperature phases” *J. Am. Ceram. Soc.*, 42(7) 319-324 (1959)